

受験番号	M								
------	---	--	--	--	--	--	--	--	--

広島大学大学院先進理工系科学研究科  
量子物質科学プログラム  
博士課程前期入学試験問題

専 門 科 目 (電子工学分野)

2020年8月27日 13:30～16:30

注意事項

(1) 以下の用紙が配付されている。

問題用紙 (表紙を含む) 5枚

解答用紙 (表紙を含む) 5枚

下書用紙 1枚

(2) 問題は全部で4問あり, I～IVの問題番号および出題科目名を□で示してある。

(3) I～IVの中から3問を選び解答せよ。

(4) 解答は問題ごとに指定の用紙を用いること。紙面が不足した場合は裏面を用いてよい。

(5) 問題用紙の表紙, 解答用紙の全ページおよび下書用紙のすべてに受験番号を記入せよ。

(6) 試験終了後, 解答用紙を提出すること。問題用紙及び下書用紙は持ち帰ること。

試験科目	専門科目
------	------

I	電磁気学
---	------

1. 図 1 のように、 $x < 0$  の領域が導体で満たされており、導体表面Aから距離 $a$ の位置に点電荷 $q$ がある。表面Aは無窮平面 ( $yz$ 面) になっており、点電荷 $q$ は $x$ 軸上にあるものとする。また、 $x > 0$  の領域は誘電率 $\epsilon_0$ の真空になっている。表面Aに誘起される電荷について以下の問いに答えよ。

- (1) 鏡像法では、 $x$ 軸上の $x = -a'$  ( $< 0$ ) の位置に鏡像電荷 $q'$ を仮定する。電荷 $q$ と鏡像電荷 $q'$ が作る真空領域中の点 $P(x, y, z)$ の電位 $\Phi(x, y, z)$ を $a'$ と $q'$ 、及び、問題文で与えられている記号を用いて表わせ。
- (2) 表面Aの電位 $\Phi(0, y, z)$ を考えることにより $a'$ と $q'$ を決定せよ。
- (3) 点電荷 $q$ が作る電気力線を図示せよ。ただし、 $q > 0$ とする。
- (4) 表面Aに誘起される表面電荷密度 $\sigma(y, z)$ を求めよ。
- (5) 表面A上の全電荷が鏡像電荷と一致することを示せ。

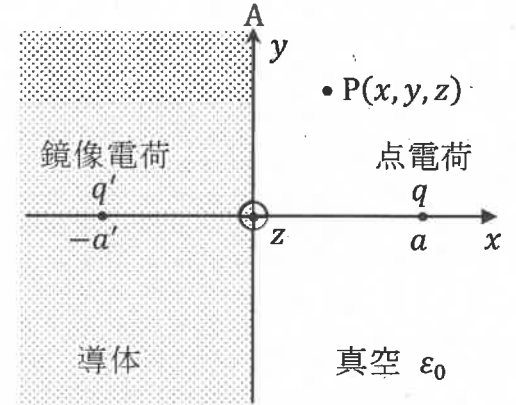


図 1

2. 透磁率 $\mu_0$ の真空中において、 $y$ 軸に平行な無窮長の直線状導線 2 本が図 2 のように置かれている。この導線と $xy$ 面 (原点を通る平面) との距離は $\frac{l}{2}$ である。図 2 において、 $+y$ 方向は紙面の表側から裏側へ向かう方向である。

- (1) アンペールの法則の積分形を示せ。ただし、必要な物理量と記号は適切に定義せよ。その際、時間変化は考えなくてよい。
- (2) 導線 1 にのみ、大きさ $I$ の電流を $+y$ 方向へ流す。任意の点 $(x, y, z)$ に生成される磁束密度の大きさをアンペールの法則から導け。
- (3) 大きさ $I$ の電流を各導線に互いに逆方向に流す。導線 1 の電流は $+y$ 方向とし、導線 2 の電流は $-y$ 方向とする。点 $P(\frac{l}{2}, 0, 0)$ における磁束密度の大きさと方向を示せ。

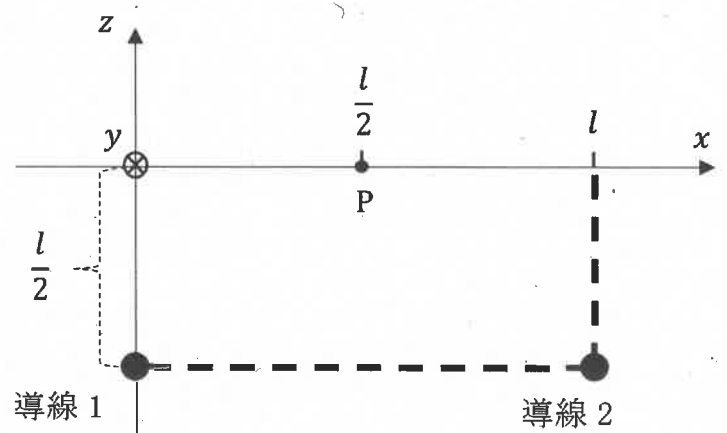


図 2

試験科目	専門科目
------	------

Ⅱ 回路工学

- 図1に示すように、抵抗 $R$ 、容量 $C$ 、インダクタ $L$ で構成された回路がある。以下の問いに答えよ。
  - 端子1-1'間のインピーダンスを求めよ。
  - 端子1-1'に絶対値 $|E|$ 、角周波数 $\omega$ の交流電圧源を接続した。電流 $I_R$ と $I_L$ の実効値と位相を求めよ。
  - $I_R$ が $R$ の大きさに依存しない $\omega$ の条件を示し、その時の $I_R$ を求めよ。また $E$ を基準とした $I_R$ および電圧 $V_R$ をフェーザ表示せよ。

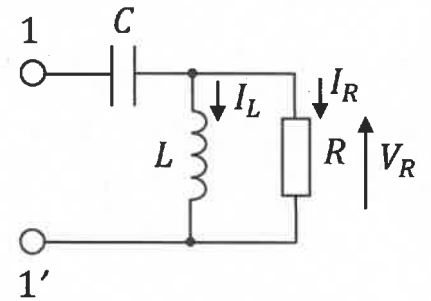


図1

- 以下の問いに答えよ。
  - 図2の組み合わせ回路の真理値表を求めよ。
  - (1)で求めた真理値表の論理式を最小積和形で示せ。また、この論理回路の機能を説明せよ。
  - 論理式 $Y = (A \cdot B) + (\overline{A+B})$ にド・モルガンの定理を適用し、(2)で求めた式に変形せよ。
  - 論理式 $Y = (A \cdot B) + (\overline{A+B})$ のゲート回路図をNANDゲート、NORゲート、インバータを用いて示せ。なお、3種類の各ゲートはそれぞれ3つ以上使用してはいけない。
  - 図3にインバータ( $Y = \overline{A}$ )のCMOS回路図を示す。2入力NANDゲート( $Y = \overline{A \cdot B}$ )および2入力NORゲート( $Y = \overline{A+B}$ )のCMOS回路図を示せ。

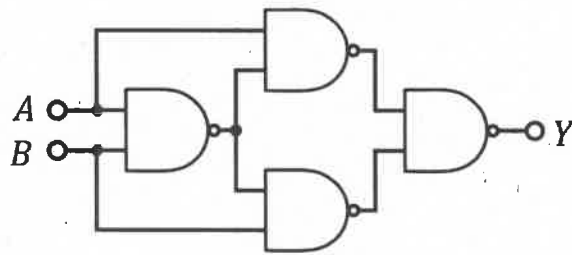


図2

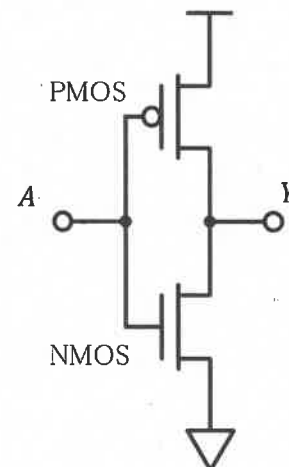


図3

試験科目	専門科目
------	------

Ⅲ 半導体工学

- アクセプタ密度 $N_A$ のP型半導体とドナー密度 $N_D$ のN型半導体を用いた熱平衡状態の階段型PN接合について考える。空乏層内における電子や正孔の存在は無視できるものとし、空間電荷密度 $\rho$ の分布を図1のように矩形で近似する。接合界面の位置を $x=0$ とし、内蔵電位を $\psi_{bi}$ 、半導体の誘電率を $\epsilon_s$ 、電気素量を $q$ とする。空乏層内の電界 $E(x)$ 、電位 $\psi(x)$ 、およびエネルギーバンド図に関する以下の問いに答えよ。
  - P型領域内の空乏層端を $x=-x_p$ とする。ポアソン方程式を解いてP側空乏層領域( $-x_p \leq x \leq 0$ )における電位分布 $\psi(x)$ を求めよ。ただし、 $E(-x_p)=0$ 、 $\psi(-x_p)=0$ とする。
  - N型領域内の空乏層端を $x=x_n$ とする。N側空乏層領域( $0 \leq x \leq x_n$ )における電位分布 $\psi(x)$ を求めよ。ただし、 $E(x_n)=0$ 、 $\psi(x_n)=\psi_{bi}$ とする。
  - $x=0$ における境界条件を示し、 $x_p$ および $x_n$ を $\psi_{bi}$ の関数として求めよ。
  - $N_A \approx N_D$ の場合における電界分布 $E(x)$ 、電位分布 $\psi(x)$ 、およびエネルギーバンド図の概形を図示せよ。エネルギーバンド図の中に伝導帯下端のエネルギー $E_C$ 、価電子帯上端のエネルギー $E_V$ 、空乏層端位置 $x_n$ 、 $-x_p$ 、および $\psi_{bi}$ をそれぞれ明示すること。また、フェルミ準位 $E_F(x)$ の位置も示すこと。ただし、 $E_F(0)$ はバンドギャップの中央とする。
  - $N_A \ll N_D$ の場合における全空乏層幅 $W = x_p + x_n$ の近似式を示し、空間電荷分布とエネルギーバンド図を描け。
- 図2のようにP型半導体とN型半導体の間に厚さが $W_i$ の真性半導体が存在する場合を考える。 $N_A \approx N_D$ として、真性半導体が無い場合と比較する形で、電界分布 $E(x)$ を図示せよ。ただし、 $x=0$ は真性半導体の中央とする。

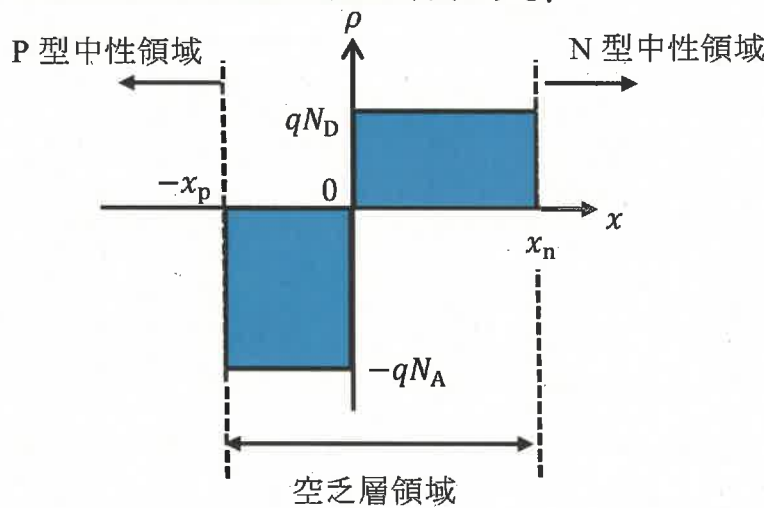


図1

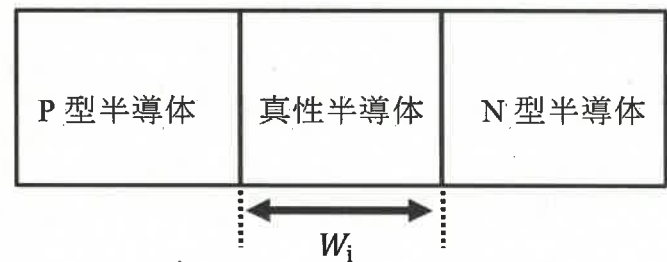


図2

- $a$ を格子定数とする図3に示すような立方格子に関する以下の問いに答えよ。
  - $(a, 0, 0)$ を通り、 $yz$ 面に平行な面のミラー指数を答えよ。
  - (1)の面と等価な面のミラー指数をすべて答えよ。
  - $(a, 0, 0)$ 、 $(0, 2a, 0)$ 、および $(0, 0, 2a)$ を通る平面のミラー指数を答えよ。

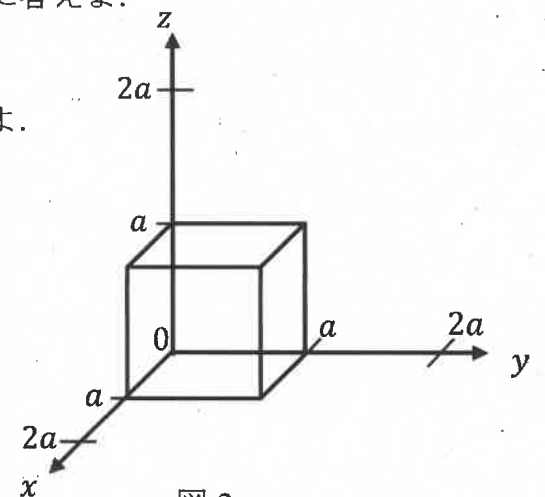


図3

試験科目	専門科目
------	------

IV	量子力学
----	------

1. 一次元ポテンシャル  $V(x)$  の中にある質量が  $m$  の粒子の運動を記述する時間に依存するシュレーディンガー方程式は次式で与えられる.

$$\left[ -\frac{\hbar^2}{2m} \frac{\partial^2}{\partial x^2} + V(x) \right] \psi(x, t) = i\hbar \frac{\partial \psi(x, t)}{\partial t} \quad (i)$$

- (1) 状態  $\psi(x, t)$  の時間変化が角振動数  $\omega$  で記述されるならば,  $\psi(x, t) = \phi(x) \exp(-i\omega t)$  と書くことができる. このとき (i) から  $\phi(x)$  に対する時間  $t$  を含まない微分方程式を導出せよ. また, この微分方程式が通常, 何と呼ばれているか答えよ.

ここから先, ポテンシャル  $V(x)$  が以下の式で与えられるものとする.

$$V(x) = \begin{cases} 0 & \text{for } 0 < x < L \\ +\infty & \text{for } x < 0, L < x \end{cases}$$

- (2) (1) で導出した微分方程式の解のうち, 最小の角振動数  $\omega_1$  に対応するものを  $\phi_1(x)$  とする. 規格化条件を満たす  $\phi_1(x)$  を導出せよ. また,  $\omega_1$  を  $m, L, \hbar$  を使って表せ.
- (3)  $\psi_1(x, t) \equiv \phi_1(x) \exp(-i\omega_1 t)$  とする.  $\psi_1(x, t)$  で記述される状態の位置の期待値  $\langle x \rangle_1(t)$  を求めよ.
- (4) (1) で導出した微分方程式の解のうち, 二番目に小さい角振動数  $\omega_2$  に対応するものを  $\phi_2(x)$  とする. 規格化条件を満たす  $\phi_2(x)$  と  $\omega_2$  を求めよ.
- (5)  $\psi_2(x, t) \equiv \phi_2(x) \exp(-i\omega_2 t)$  とする.  $\psi_2(x, t)$  で記述される状態の位置の期待値  $\langle x \rangle_2(t)$  を求めよ.
- (6)  $\psi_{12}(x, t) \equiv \frac{1}{\sqrt{2}} [\psi_1(x, t) + \psi_2(x, t)]$  とする.  $\psi_{12}(x, t)$  で記述される状態の位置の期待値  $\langle x \rangle_{12}(t)$  を求めよ. 最終的な結果は定積分を含む形の式で構わないが,  $\phi_1(x), \omega_1, \phi_2(x), \omega_2$  は使わずに, (2) と (4) の結果を利用して書くこと.